

اثر دما بر تشکیل فازهای مختلف نانوذرات CuInS_2 سنتز شده به روش ترمولیز

مهسا یدالهی^۱، سمیه اعلم الهدی^۱، سید محمد میر کاظمی^۱، یاسر وحیدشاد^۲

^۱ دانشکده مهندسی مواد و متالورژی، دانشگاه علم و صنعت ایران

^۲ پژوهشکده سامانه‌های حمل و نقل، پژوهشگاه فضایی ایران

alamolhoda@iust.ac.ir

چکیده:

در این تحقیق، نانوذرات CuInS_2 به روش سریع و تک مرحله‌ای ترمولیز سنتز شدند و دمای تجزیه کمپلکس‌ها مورد بررسی قرار گرفت. ترکیب کلیوی‌دی از CuInS_2 با انحلال CuCl با $\text{In}_2(\text{SO}_4)_3$ به عنوان عنصر کاتیونی، تیواوره⁽²⁾ ($\text{SC}(\text{NH}_2)_2$) به عنوان منع گوگرد و پلی وینیل پیرولیدون (PVP) به عنوان عامل اصلاح سطح (سورفتکتانت) در دی‌اتیلن گلیکول ($(\text{CH}_2\text{CH}_2\text{OH})_2\text{O}$) بعنوان حلال غیر سمتی و ارزان قیمت و اتیلن دی‌آمین ($\text{C}_2\text{H}_8\text{N}_2$)، تهیه شد. نمونه‌ها به روش آنالیز پراش پرتو ایکس برای بررسی خواص ساختاری، FTIR برای شناسایی تشکیل کمپلکس‌ها و عوامل فعل کننده مسطوحی (capping agent)، جذب اسپکتروفوتومتری (UV-VIS) برای بررسی خواص نوری مورد مطالعه قرار گرفتند. نتایج نشان می‌دهد هنگامی که دما بالای 210°C است، سولفات ایندیوم تجزیه شده و ترکیبات محلول جامد CuInS_2 با ساختار بلوری پائی‌تاپ (ورتزیت و کالکوپیریت) تشکیل می‌شود. همچنین با افزایش دما از 120°C به 240°C درجه ساختار بلوری کالکوپیریت نسبت به ساختار ورتزیت تقویت می‌شود.

اطلاعات مقاله:

دربافت: ۱۴ اسفند ۱۳۹۵

پذیرش: ۱۸ تیر ۱۳۹۶

کلید واژه:

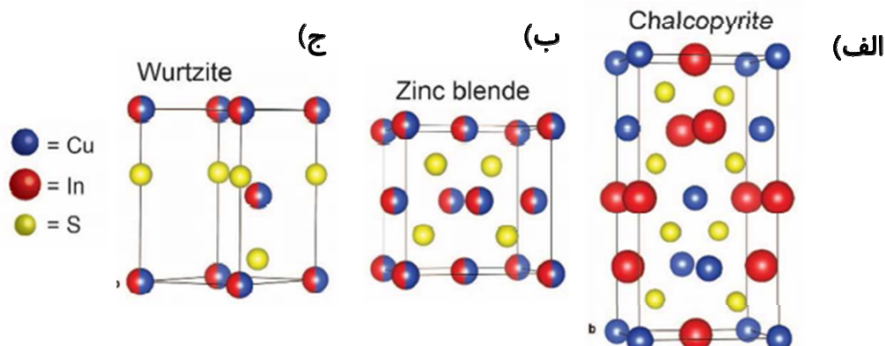
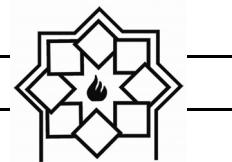
ترمولیز، فازهای جانبی، چند ریختی،
تجزیه کمپلکس

۱- مقدمه

ماده جاذب در سلول‌های خورشیدی مورد استفاده قرار گیرند^[۷-۲]. برای ترکیب CIS ساختار کالکوپیریت از دمای محیط تا دمای 980°C ، ساختار ورتزیت بین ۹۸۰ تا 1045°C و ساختار بلند روی^۱ تا دمای ذوب (1090°C) پایدار است^[۴]. در شکل (۱) ساختار کالکوپیریت بلند روی و ورتزیت به صورت شماتیک نشان داده شده است.

امروزه جهت تولید انرژی پاک، تحقیقات زیادی برای توسعه قطعات فوتولوئیک در حال انجام است^[۱]. ترکیبات سه تایی (CIS) به دلیل ضریب جذب نوری بالا ($>10^5 \text{ cm}^{-1}$)، هدایت الکتریکی مناسب، شکاف باند مستقیم $1/5\text{eV}$ و دوستداری محیط زیست، می‌توانند بعنوان

¹ Zinc Blende



شکل ۱- ساختار (الف) کالکوپیریت و (ب) بلند روی و (ج) ورتزیت [۸].

داغ، هیدروترمال، ترمولیز و ... اشاره کرد[۱۵،۷-۱۸]. در این میان روش ترمولیز، علاوه بر سادگی و تک مرحله‌ای بودن بر مبنای کنترل جوانه‌زنی و رشد ترکیبات اورگانومتالیک با استفاده از حلال و عوامل فعال کننده سطحی است که به دلیل استفاده از حلال با دمای جوش بالا محصولات از بلورینگی بالایی برخوردار بوده و به عملیات حرارتی بعدی نیاز ندارند[۴،۱۵،۹].

جوهر (دوغاب پایدار) در روش‌های پوشش‌دهی متعددی نظری رسوب دهی الکتریکی مورد استفاده قرار می‌گیرد. استفاده از حالی که بتواند نانوذرات را به صورت مؤثری پایدار کند یک فاکتور بحرانی برای تهیه جوهر نانوکریستال است[۲۰].

بنابر قانون استوک، چهار عامل برای دستیابی به کلویید پایدار مهم است که شامل اندازه ذره (R)، گرانروی سیال (μ)، چگالی ذرات (ρ_p) و چگالی مایع (ρ_L) هستند[۲۱]:

$$V = \frac{2R^2}{9\mu} (\rho_p - \rho_L) g \quad (1)$$

همانگونه که از رابطه ۱ مشاهده می‌شود، اندازه ذره می‌تواند پایداری کلویید را تحت تاثیر قرار دهد. بنابراین در این تحقیق سعی بر سنتز نانوذرات کوچک با بلورینگی بالا شده

ترکیبات CIS عمدهاً با دو روش تهیه می‌شوند: روش‌های خلاء و غیرخلاء [۹]. سلول‌های خورشیدی لایه‌نازک با بازدهی بالا توسط روش‌های خلاء مانند کند و پاش^۱، تبخیر همزمان^۲، رسوب‌گذاری فیزیکی فاز بخار^۳، رسوب‌گذاری شیمیایی فاز بخار^۴ و ... تهیه می‌شوند. برای کاهش هزینه‌های تولید این گونه از سلول‌های خورشیدی می‌توان با حذف تجهیزات گران قیمت خلاء به روش‌های غیرخلاء، نظری رسوب دهی حمام شیمیایی (chemical bath)، تجزیه گرمایی افسانه‌ای (spray deposition)، رسوب‌دهی الکتریکی (Electro pyrolysis)، روش‌های شیمیایی تر و غیره روش روی آورد. که در این میان روش‌های سنتز تک مرحله‌ای به دلیل عدم نیاز به خلاء، سادگی و سرعت بالا، بازدهی بالا، اتصال اندک مواد اولیه و توانایی تهیه دوغاب پایدار از بهترین روش‌های شیمیایی تر هستند[۴، ۱۰-۱۴]. روش‌های سنتز تک مرحله‌ای متعددی برای تهیه نانو ذرات CIS مورد استفاده قرار گرفته است که می‌توان به روش سولوترمال، تزریق

¹ sputtering² co-evaporation³ PVD⁴ CVD



اتمسفر بالن مورد نظر از خلاء به آرگون تغییر داده شد و دما تا 120°C ، 150°C ، 180°C ، 210°C و 240°C با نرخ $4^{\circ}\text{C}/\text{min}$ افزایش داده شد. محلول پس از رسیدن به دمای مورد نظر به مدت 60 دقیقه در این دما نگه داشته شد. بعد از سرد شدن کلوئید تا دمای محیط، 30CC اتانول به منظور شستشوی نانوذرات به کلوئید مورد نظر افزوده شد و به مدت 10 دقیقه با سرعت 5000rpm سانتریفیوژ شد. برای حذف حلال باقی مانده و مواد واکنش نکرده محلول مجدداً با اتانول شست و شو داده شد و در نهایت برای به دست آوردن پودر به مدت 24 ساعت در دمای 80°C در یک بوته سرامیکی در آون در اتمسفر هوا خشک شد.

۱-۲- مشخصه‌یابی نمونه‌ها

برای شناسایی گروه‌های عاملی و گونه‌های شیمیایی نمونه‌های مورد نظر از دستگاه طیف سنجی تبدیل فوریه مادون قرمز (FT-IR) مدل Nicolet 6700 ساخت شرکت Thermo scientific در محدوده طول موج $4000-5000\text{cm}^{-1}$ استفاده شده است. به منظور بررسی فازهای اصلی و فازهای جانبی ایجاد شده در طی سنتز و همچنین خواص ساختاری نمونه‌های سنتز شده دستگاه پراش پرتو ایکس مدل Explorer ساخت شرکت GNR با لامپ مس در محدوده $20-70^{\circ}$ استفاده شد. طیف جذب توسط دستگاه اسپکترومتر معاورا بنفش/مریمی دستگاه PG instruments Ltd مدل T80+ در محدوده $400-1000\text{nm}$ در اندازه گیری شده است.

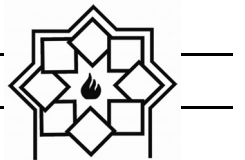
۳- نتایج و بحث

شكل ۱ الگوهای پراش پرتو ایکس نمونه‌های سنتز شده در

است که نیاز به دمای سنتز پایین دارد. دی‌اتیلن گلیکول از دسته حلال‌های قطبی با سمیت پایین است که نقطه جوش بالای دارد (245.5°C) [۲۲] و می‌تواند نمک‌های فلزی را به راحتی حل کند. نقطه جوش بالای این ماده امکان انجام سنتز نمونه را در دمای بالاتر (نزدیک به 240°C) فراهم می‌کند. تا جایی که مولفین می‌دانند از حلال دی‌اتیلن گلیکول و اتیلن دی‌آمین جهت سنتز نانو ذرات CIS به روش ترمولیز استفاده نشده است. در این تحقیق نانو ذرات CIS با استفاده از روش تک مرحله‌ای ترمولیز با استفاده از حلال غیر سمی و ارزان قیمت دی‌اتیلن گلیکول تهیه شدند.

۲- فعالیت‌های تجربی

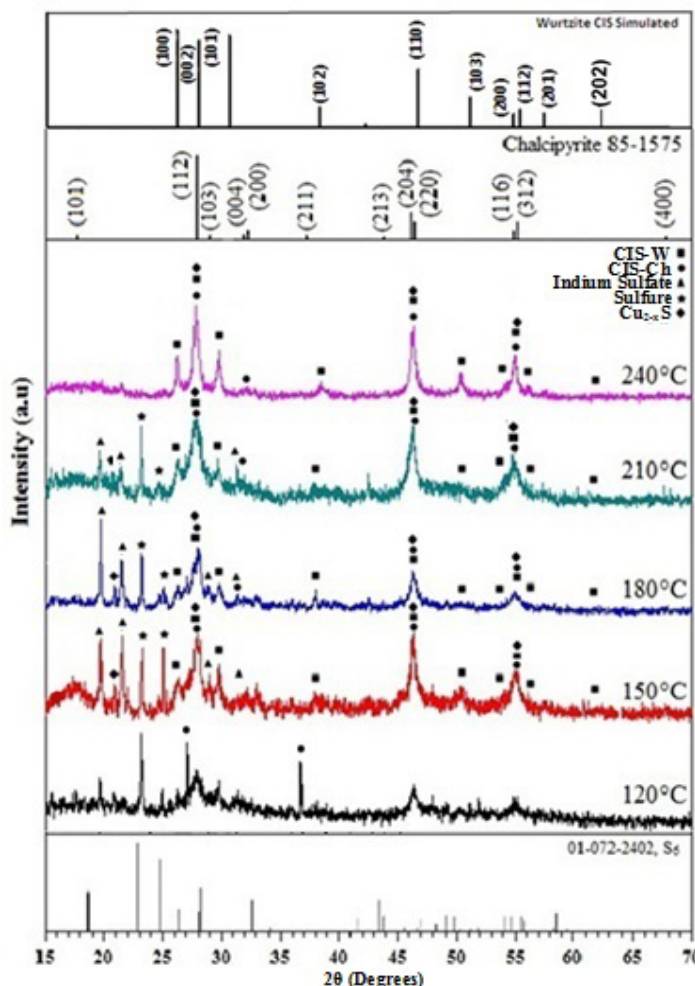
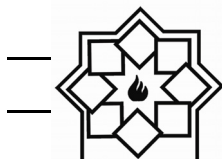
برای سنتز ترکیب سه تایی CuInS_2 از روش ساده و تک مرحله‌ای ترمولیز استفاده شد. در ابتدا 0.45mmol از کلرید 0.25 mmol مس یک ظرفیتی (CuCl ۹۹٪، merck)، سولفات ایندیوم ($\text{In}_2(\text{SO}_4)_3$ ، ۹۹.۹۹٪، Merck) و 2mmol H_2NCSNH_2 ، ۹۹.۹۹٪، Merck) به عنوان منبع گوگرد و 0.2 g پلی وینیل پارولیدون (PVP) (عنوان $\text{C}_6\text{H}_9\text{NO}_n$ ، ۹۹.۹۹٪، Merck) به عنوان عامل فعال‌ساز سطحی در حلالی شامل مخلوطی از 30CC دی‌اتیلن گلیکول (DEG) ($\text{C}_4\text{H}_{10}\text{O}_3$, ۹۹.۰٪, Merck) و $1\text{ سی سی اتیلن دی‌آمین}$ ($\text{C}_2\text{H}_8\text{N}_2$, ۹۹.۰٪, Merck) (EDA) در بالن سه دهانه تحت خلاء به مدت 30 دقیقه هم زده شد تا محلولی عاری از اکسیژن و آب به دست آید. سپس دما تا 80°C با نرخ $10^{\circ}\text{C}/\text{min}$ افزایش داده شد تا نمک‌های ذکر شده حل شوند. بعد از گذشت 1 ساعت



شوند، در نتیجه سبب باقی ماندن $\text{In}_2(\text{SO}_4)_3$ و Cu_2S در کنار ترکیب CuInS_2 می‌شود. علاوه بر این همانطور که در شکل مشاهده می‌شود، پیک S_6 در دماهای پایین مشاهده می‌شود که با افزایش دما تمایل به کاهش دارد.

در الگوی پراش پرتو ایکس این نمونه‌ها، پیک‌های (۲۰۰)، (۲۱۱)، (۴۰۰) و (۲۱۳) فقط مربوط به فاز کالکوپیریت (JCPDS-85-1575) و پیک‌های (۱۰۰)، (۱۰۱)، (۱۰۲)، (۱۰۳) و (۲۰۱) فقط مربوط به فاز ورتزیت (الگوی شبیه سازی شده) است. ترکیب CuInS_2 نیز مخلوطی از ساختارهای ورتزیت و کالکوپیریت است. بقیه پیک‌های مربوط به این دو فاز بر هم همپوشانی دارند. هنگامی که از گروههای عاملی هیدروکسیل و آمین در سنتز استفاده شود، هر دو ساختار کالکوپیریت و ورتزیت با هم تشکیل می‌شوند (پلی تایبیزم). در حقیقت گروه عاملی هیدروکسیل باعث تقویت ساختار کالکوپیریت و گروه عاملی آمین باعث تقویت ساختار ورتزیت می‌شود [۲۱، ۲۲]. در واقع همسایگی آمین‌ها با کاتیون‌های فلزی بر روی تشکیل فازهای مختلف تأثیر دارد [۲۱]. با افزایش دما فاز کالکوپیریت که از لحاظ ترمودینامیکی پایدارتر است، به صورت فاز غالب در می‌آید. در حقیقت با افزایش دما فاز ناپایدار ورتزیت موجود در سیستم، تبدیل به فاز کالکوپیریت پایدار می‌شود [۲۳]. این فرآیند تبدیل، به صورت افزایش شدت پیک اصلی ساختار کالکوپیریت (۱۱۲) و کاهش شدت پیک‌های اصلی فاز ورتزیت (۱۰۱) و (۱۰۰) مشاهده می‌شود. بنابراین به دلیل حضور فازهای جانبی در کنار فازهای اصلی در دماهای پایین‌تر از 240°C ، دمای 240°C برای سنتز نانوذرات CuInS_2 با حلال دی اتیلن گلیکول مناسب است [۲۳].

دماهای مختلف از 120°C تا 240°C را نشان می‌دهد. در جدول شماره ۱ نیز دمای سنتز نمونه‌ها و فازهای تشکیل شده در هر دمای سنتز به صورت کامل ذکر شده است. نتایج نشان می‌دهد که بسته به دمای سنتز، ترکیب فازها از مخلوط فازهای $\text{In}_2(\text{SO}_4)_3$ و Cu_{2-x}S و CuInS_2 به ترکیب CuInS_2 تبدیل می‌شود. بنابر قانون لویس و خواص همسایگی، حالات (DEG, EDA) تیواوره و سرفکتن (PVP) می‌توانند کمپلکس‌های مناسبی را با نمک‌های فلزی بدهنند [۱۰-۸]. مس به عنوان اسید لویس ضعیف با تیواوره بعنوان باز لویس ضعیف کمپلکس تشکیل می‌دهد و ایندیوم بعنوان اسید لویس بینایین تمایل به تشکیل کمپلکس با دی اتیلن گلیکول و PVP بعنوان باز لویس قوی دارد. کمپلکس مس-تیواوره نسبت به کمپلکس‌های ایندیوم واکنش پذیرتر است و با حرارت‌دهی اجزای واکنش تا حدودا 110°C ، سبب تجزیه کمپلکس مس-تیواوره می‌شود تا ترکیب (۱-X) Cu_{2-x}S (X=0-1) را تشکیل دهد. در نتیجه کمپلکس In-DEG-EDA تجزیه Cu_{2-x}S می‌شود و یون‌های In^{3+} توسط تبادل یونی در شبکه Cu_{2-x}S توسعه تبادل یونی در شرکت می‌کنند تا 3Cu^+ و CuInS_2 را تولید کنند [A]. در حقیقت نخستین جوانه زنی در طول واکنش، مربوط به Cu_{2-x}S است و سپس هنگامی که رشد ادامه پیدا می‌کند نانوذرات CuInS_2 توسط تکمیل تبادل کاتیونی، تشکیل می‌شوند [۲۰]. همانطور که در شکل ۱ مشاهده می‌شود، زمانی که دما پایین‌تر از 240°C است، فازهای جانبی ایندیوم سولفات و سولفور در کنار فازهای اصلی حضور دارند. در حقیقت مقداری از $\text{In}_2(\text{SO}_4)_3$ نمی‌تواند به In^{3+} آزاد تبدیل شود و در نتیجه نخستین جوانه‌های Cu_{2-x}S نمی‌توانند به CuInS_2 تبدیل



شکل ۲- پراش پرتو ایکس نمونه‌های سنتز شده.

جدول ۱- مشخصات نمونه‌های سنتز شده

دما و واکنش (°C)	محیط واکنش	فاز بلورین
۱۲۰	DEG+EDA+PVP	ورتزیت + سولفات ایندیوم + S ₆
۱۵۰	DEG+EDA+PVP	ورتزیت + کالکوپیریت + سولفات ایندیوم + S ₆
۱۸۰	DEG+EDA+PVP	ورتزیت + کالکوپیریت + سولفات ایندیوم + S ₆
۲۱۰	DEG+EDA+PVP	ورتزیت + کالکوپیریت + سولفات ایندیوم + S ₆
۲۴۰	DEG+EDA+PVP	ورتزیت + کالکوپیریت



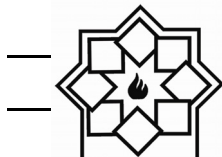
دی اتیلن گلیکول و PVP مشاهده می شود. شدت این پیکها کمتر از شدت پیک خالص آنهاست و طول موج پیکها هم مقدار کمی جابجایی دارد [۵، ۱۱۶]. علت تغییر شدت و همچنین جابجایی پیکها واکنش آنها با نمک عنصر مس و ایندیوم و در نتیجه تغییر انرژی پیوند آنهاست. طیف سیزرنگ مربوط به کمپلکس است که پیکهای δ , $\text{C}=\text{S}$, 1095cm^{-1} و 1434cm^{-1} , 1511cm^{-1} , مربوط به v_{as} ($\text{C}-\text{N}$) و v_{as} ($\text{C}=\text{S}$) v_{as} ($\text{C}-\text{N}$) v_{as} ($\text{C}-\text{O}$) v_{as} ($\text{C}-\text{O}$), v_{as} ($\text{C}-\text{OH}$) v_{as} (CH_2) v_{s} (CH_2) v_{as} ($\text{C}-\text{O}$) برای دی اتیلن گلیکول و 1708cm^{-1} مربوط به v_{as} (CH_2) برای دی اتیلن گلیکول و 1708cm^{-1} مربوط به v_{as} ($\text{C}=\text{O}$) برای PVP است. همچنین بعد از تشکیل کمپلکس زمانی که دما افزایش پیدا کرده و نانوذرات تشکیل می شوند، دی اتیلن گلیکول، PVP و تیواوره با سطح نانوذرات پیوند داتیو تشکیل داده و به صورت یک عامل پوشش دهنده سطحی عمل می کنند که نتیجه از رشد استوالد و آگلومره شدن ذرات به صورت ممانعت کننده فضایی جلوگیری می کنند [۲۴].

طیف مربوط به محصولات نهایی (خط بنفس) طیفی مشابه با کمپلکس را با کمی جابجایی نشان می دهد. زیرا اتصال کووالانت تیواوره، دی اتیلن گلیکول و PVP با سطح نانوذرات، نقش عامل اتصال دهنده برای پایداری سطح را ایفا می کند. اتصالات قوی در 1057cm^{-1} , 757cm^{-1} , 1429cm^{-1} و 1478cm^{-1} می تواند مربوط به v_{as} ($\text{C}-\text{N}$), v_{as} ($\text{C}=\text{S}$) (حالت خمی)، ($\text{N}-\text{C}-\text{N}$) و δ گروه عاملی تیواوره باشد. همچنین پیکهای مشخصه در 1121cm^{-1} , 889cm^{-1} , 1285cm^{-1} ,

سولفید مس در اغلب نمونه ها به صورت یک فاز جانبی و با مقدار خیلی کم مشاهده می شود. مشاهده می شود زمانی که دمای سنتز 120°C است، فاز ورتزیت، فاز اصلی بوده و فاز کالکوپیریت کمتر است و بر عکس زمانی که دمای سنتز 240°C است ساختار کالکوپیریت نسبت به فاز ورتزیت غلبه دارد. یعنی با افزایش دمای سنتز، درصد تشکیل ساختار کالکوپیریت نسبت به ورتزیت افزایش پیدا می کند. پیکهای اصلی ساختار ورتزیت در نمونه سنتز شده در دمای 240°C در $46/3756^{\circ}$, $26/2868^{\circ}$, $27/8131^{\circ}$, $29/78^{\circ}$ و $38/5314^{\circ}$ قرار دارد که مربوط به صفحات (۱۰۰)، (۱۰۱)، (۰۰۲)، (۱۰۰) و (۱۱۰) است.

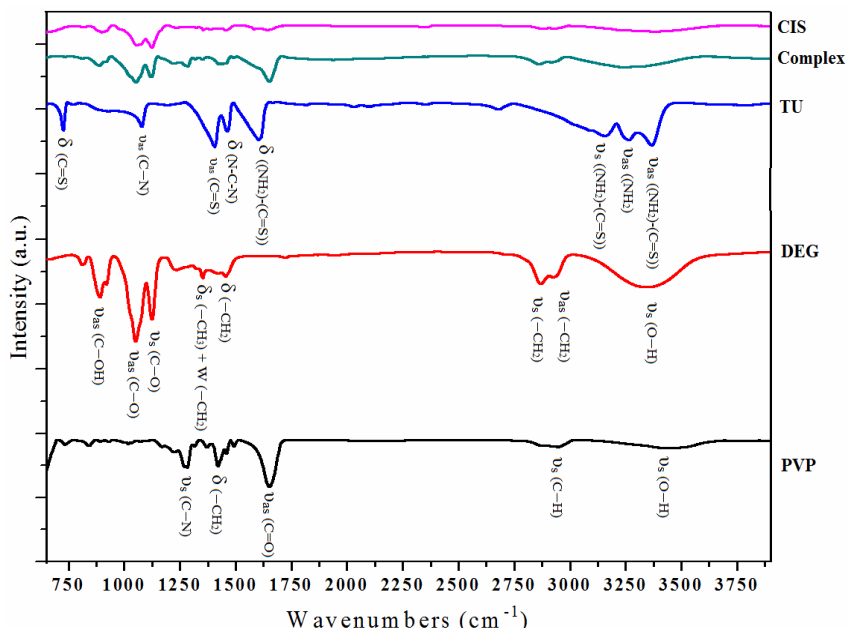
سطح اتم ها عدد همسایگی کمتری نسبت به اتم های داخلی نانوبلورها دارند، پس PVP، DEG و تیواوره اضافی به سطح نانوبلورها بعنوان عوامل کنترل کننده سطحی متصل می شود تا رشد را کنترل کند و سبب پایداری خوش ها توسط واکنش هیدروکسیل (OH), آمین (NH_2) و تیول (SH) با سطح خوش ها شود [۶]. برای مطالعه جزئیات تشکیل تجربی کمپلکس، سیتیک واکنش توسط نمونه گیری در مراحل مختلف در دماهای بالا و در انتهای واکنش توسط تست FT-IR مشاهده شده است. با افزایش دما رنگ محلول از زرد شفاف به قهوه ای روشن و در دمای 80°C به قهوه ای تیره تغییر کرد.

شکل ۲ نتایج FT-IR نمونه ها در حالات مختلف شامل تشکیل کمپلکس، انتهایی واکنش و منابع خالص دی اتیلن گلیکول (DEG)، PVP و تیواوره (TU) را نشان می دهد. همانطور که مشاهده می شود بعد از تشکیل کمپلکس، پیکهای اصلی مربوط به تیواوره،



واکنش تیواوره، PVP و دی‌اتیلن‌گلیکول با نمک‌های مس و ایندیوم است که در نهایت سبب تغییر انرژی پیوند آن‌ها می‌شود. بنابراین تیواوره، دی‌اتیلن‌گلیکول و PVP نقش عوامل اتصال‌دهنده (capping agent) در فرآیند پایدارسازی و جلوگیری از آگلومره شدن نانو ذرات را ایفا می‌کنند.

ν_{as} (C-OH) 2900 cm^{-1} و 2860 cm^{-1} مربوط به (C-O) ν_s (CH₂) و ν_{as} (C=O) (حالت کششی متقارن)، (C-O) (DIE) دی‌اتیلن‌گلیکول است. پیک مشخصه طیف PVP مربوط به (C=O) در 1650 cm^{-1} است. این پیک نسبت به پیک‌های اصلی شدت کمتری داشته و مقداری جابجایی در طول موج مشاهده می‌شود. علت آن احتمالاً انجام

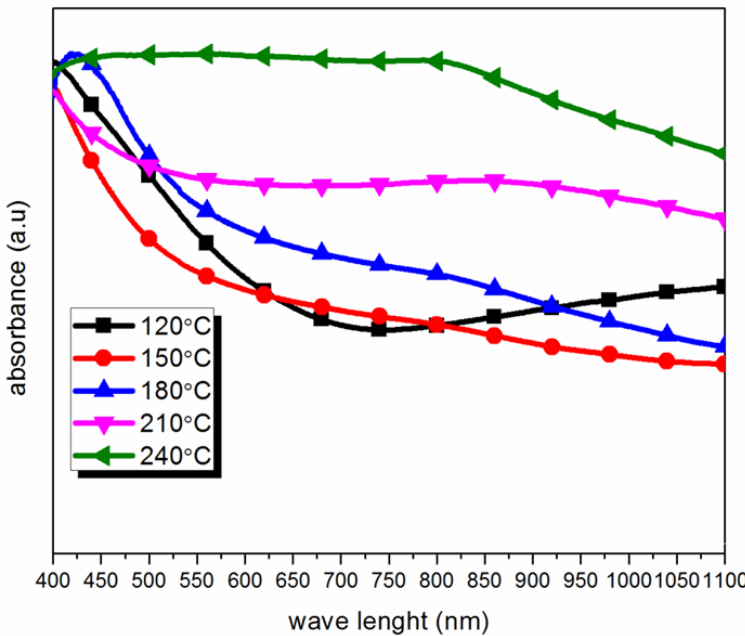
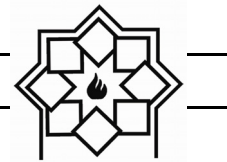


شکل ۳- طیف FT-IR مواد خالص، کمپلکس و محصولات نهایی.

CuInS₂ باشد. یک شانه در طیف جذبی نمونه سنتز شده در دمای 240°C در حدود 850 nm مشاهده می‌شود که می‌تواند مربوط به فاز کالکوپیریت CuInS₂ باشد. حضور یک دنباله بلند در طول موج‌های طولانی‌تر در نمونه‌های سنتز شده در دمای 240°C و 120°C می‌تواند مربوط به توزیع اندازه نسبتاً پهن نانو بلورها باشد.

خواص نوری نانو ذرات CuInS₂ که در اتیلن‌گلیکول پخش شده‌اند در دمای افق توسط طیف جذب UV-VIS اندازه گیری شده است. نتایج این آنالیز در شکل ۳ نشان می‌دهد که لبه طیف جذب حدود 1100 nm است. نتایج، دو شانه^۱ در طیف جذب نمونه‌های سنتز شده در دمای 150°C و 180°C در حدود 670 nm و 850 nm را نشان می‌دهد که می‌تواند به ترتیب مربوط به فاز ورتزیت و کالکوپیریت

¹Shoulder



شکل ۴- طیف جذب ماوراء بنفش-مرئی نمونه‌های سنتز شده.

آنها شیب ملایم و تغییر شیب در نقاط مختلف نشان دهنده این موضوع است.

مراجع

- [1] X. Sheng, L. Wang, Y. Luo, and D. Yang, "Synthesis of hexagonal structured wurtzite and chalcopyrite CuInS₂ via a simple solution route," *Nanoscale Research Letters*, pp. 2–7, 2011.
- [2] M. E. Norako and R. L. Brutchey, "Synthesis of Metastable Wurtzite CuInSe₂ Nanocrystals," *Chemistry of Materials* Vol. 9, pp. 1613–1615, 2010.
- [3] Y. Vahidshad, R. Ghasemzadeh, A. I. Zad, and S. M. Mirkazemi, "Solvothermal synthesis of CuMS₂ (M = Al, In, Fe) nanoparticles and effect of coordinating solvent on the crystalline structure," *Scientia Iranica*, vol. 21, pp. 2468–2479, 2014.
- [4] J. Der Wu, L. Ting, and C. Gau, "Synthesis of CuInGaSe₂ nanoparticles by modified polyol route," *Solar Energy Materials and Solar Cells*, vol. 98, pp.

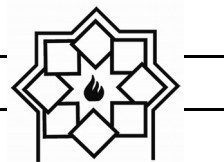
شیب جذب کم یا تدریجی ممکن است به دلیل توزیع گسترده اندازه ذرات و یا وجود عیوب ذاتی در نانوذرات باشد[۱۴، ۱۵]. افزایش دمای سنتز باعث گستردگی توزیع اندازه ذرات می‌شود، که در طیف جذب آنها شیب ملایم و تغییر شیب در نقاط مختلف مؤید همین مطلب است[۷].

۴- نتیجه‌گیری

در این تحقیق از روش ترمولیز برای تشکیل نانوکلوپید CuInS₂ استفاده شد. برای تمامی نمونه‌ها، حداقل دمای تجزیه کمپلکس ایندیوم بالاتر از ۲۰ °C است. با افزایش دمای سنتز تشکیل فازهای جانبی Cu_{2-x}S و In₂(SO₄)₃ کاهش پیدا می‌کند. همچنین افزایش دمای سنتز به ۲۴۰ °C سبب افزایش میزان فاز کالکوپیریت تشکیل شده نسبت به فاز ورتزیت می‌شود. همچنین افزایش دمای سنتز باعث گستردگی توزیع اندازه ذرات می‌شود، که در طیف جذب



- Vacuum Processing of Cu-Chalcogenide Thin Films,"Journal of nanoscience and nanotechnology, Vol.12 pp. 6800–6803, 2012.
- [13] L. J. Janik and G. Osmond, "Fourier_transform infrared study of ethylene glycol monoethylether adsorbed on montmorillonite: implications for surface area measurements of clays," Clays and clay materials.vol. 35, pp. 60–67, 1987.
- [14] N. H. Abdullah, Z. Zainal, S. Silong, M. Ibrahim, M. Tahir, K. Tan, and S. Chang, "Thermal Decomposition Synthesis of Nanorods Bismuth Sulphide from Bismuth N-ethyl Cyclohexyl Dithiocarbamate Complex", Thermochim. Acta, Vol. 632, pp. 37-45, 2016.
- [15] Á. F. Á. Tg, "Thermal , FTIR and microhardness studies of bisthiourea-urea single crystal," Journal of Thermal Analysis and Calorimetry, Vol. 104, pp. 915–921, 2011.
- [16] K. Nose, Y. Soma, T. Omata, and S. Otsuka-yao-matsu, "Synthesis of Ternary CuInS₂ Nanocrystals□; Phase Determination by Complex Ligand Species" , Chemistry of Materials, Vol. 14, pp. 2607–2613, 2009.
- [17] P. Shengjie, L. Yanliang, C. Fangyi, and L. Jing, "Size-controlled chalcopyrite CuInS₂ nanocrystals□: One-pot synthesis and optical characterization", Science China Chemistry, vol. 55, pp. 1236–1241, 2012.
- [18] A. Ghadimi, R. Saidur, and H. S. C. Metselaar, "International Journal of Heat and Mass Transfer A review of nanofluid stability properties and characterization in stationary conditions", International Journal of Heat and Mass Transfer, vol. 54, pp. 4051–4068, 2011.
- [19] S. Roncallo, J. D. Painter, M. J. F. Healy, S. A. Ritchie, M. V Finnis, K. D. Rogers, J. J. Scragg, P. J. Dale, and G. Zoppi, "Effects of different needles and substrates on CuInS₂ deposited by 404–408, 2012.
- [5] M. K. Ahmed, M. P. Mcleod, J. Nézivar, and A. W. Giuliani, "Fourier transform infrared and near-infrared spectroscopic methods for the detection of toxic Diethylene Glycol (DEG) contaminant in glycerin based cough syrup," Spectroscopy. vol. 24, pp. 601–608, 2010.
- [6] K M . Koczkur, S . Mourdikoudis , L . Polavarapu, "Polyvinylpyrrolidone (PVP) in nanoparticle synthesis", Dalton Transactions, Vol. 24, 2015.
- [7] Y. Qi, Q. Liu, K. Tang, Z. Liang, Z. Ren, and X. Liu, "Synthesis and Characterization of Nanostructured Wurtzite CuInS₂□: A New Cation Disordered Polymorph of CuInS₂," The Journal of Physical Chemistry C, Vol. 113, pp. 3939–3944, 2009.
- [8] A. D. P. Leach, J. E. Macdonald, "The Optoelectronic Properties of CuInS₂ Nanocrystals and their Origin", The Journal of Physical Chemistry Letters, Vol. 7, pp. 572–583, 2016.,
- [9] C. J. Hibberd1, E. Chassaing, W. Liu, D. B. Mitzi, D. Lincot, A. N. Tiwari, Non-vacuum methods for formation of Cu(In, Ga)(Se, S)2 thin film photovoltaic absorbers, Progress in Photovoltaics: Research and Applications, Vol. 18, pp. 434–452, 2010.
- [10] X. Sheng, L. Wang, and D. Yang, "Shape and size controlled synthesis of CuInS₂ particles in polyalcohol system used as "printable ink " for thin films," Journal of Sol-Gel Science and technology, pp. 87–91, 2012.
- [11] Y. Vahidshad, M. Nawaz, T. Seyed, and M. Mirkazemi, "One-pot thermolysis synthesis of CuInS₂ nanoparticles with chalcopyrite-wurtzite polytypism structure," Journal of Materials Science: Materials in Electronics, Vol. 26, pp. 8960-8972, 2015.
- [12] E. El Hamri, M. Meddah, L. Boulkadat, A. Elfanaoui, K. Bouabid, M. Nya, X. Portier, and A. Ihlal, "Studies of Non-



chalcogenide nanocrystals: synthesis, properties and applications, Journal of Materials Chemistry C, Vol. 1, p. 3756, 2013.

- electrostatic spray deposition," Thin Solid Films, vol. 519, pp. 3544–3551, 2011.
- [20] A. H. Cheshmekhavar, A. R. Mahjoub, H. Fakhri, and M. Dehghani, "All solution-based processes for fabrication of superstrate-type configuration CuInS₂ thin film solar cells", RSC Advances, Vol. 5, 97381–97390, 2015.
 - [21] M. S. Engineering, L. Angeles, and W. S. Uni, "Synthesis of Cu - In - S Ternary Nanocrystals with Tunable structure and composition," Langmuir ,vol 13, pp. 5620–5621, 2008.
 - [22] W. M. Haynes, CRC Handbook of chemistry and physics, 96th ed. 2015-2016.
 - [23] W. Huang, C. Tseng, S. Chang, "Solvothermal Synthesis of Zincblende and Wurtzite CuInS₂ Nanocrystals and Their Photovoltaic Application," Langmuir, Vol. 28, pp. 1–6, 2012.
 - [24] M. Mousavi-Kamazani, M. Salavati-Niasari, and M. Sadeghinia, "Facile hydrothermal synthesis, formation mechanism and solar cell application of CuInS₂ nanoparticles using novel starting reagents," Materials Letters, Vol. 142, pp. 145–149, 2015.
 - [25] S. Shei, W. Chiang, and S. Chang, "Synthesis of CuInS₂ quantum dots using polyetheramine as solvent," Nanoscale Research Letters, pp. 4–10, 2015.
 - [26] S. Asgary, K. Mirabbaszadeh, P. Nayebi, and H. Emadi, "Synthesis and investigation of optical properties of TOPO-capped CuInS₂ semiconductor nanocrystal in the presence of different solvent", Materials Research Bulletin, vol. 51, pp. 411–417, 2014.
 - [27] Z. Han, D. Zhang, Q. Chen, T. Mei, and S. Zhuang, "One-pot , rapid synthesis of chalcopyrite CuInSe₂ nanoparticles for low-cost thin film solar cell", Powder Technology, vol. 249, pp. 119–125, 2013.
 - [28] D. Aldakov, A. Lefrançois, P. Reiss, Ternary and quaternary metal